- ПЛК «ОВЕН» выполняет все управляющие функции, обрабатывает входные данные, формирует управляющие сигналы для манипуляторов и осуществляет контроль за процессом сортировки;
- сервоприводы, манипулятор и раскладчик отвечают за перемещение секций на различных этапах процесса. Вибропитатель осуществляет ориентацию секций и поштучную их выдачу на позицию захвата. Манипулятор осуществляет перенос каждой секции с позиции захвата в контактное устройство. Раскладчик осуществляет сброс секций в один из приемных бункеров в соответствии с показаниями измерительного устройства;
- оптические датчики EE-SX1018 и CNY70 используются для контроля положения манипуляторов и наличия секции в зоне захвата.

Алгоритм функционирования системы включает следующие этапы.

- 1. Инициализация системы компоненты системы приводятся в исходное положение.
- 2. Манипуляция с секцией управление сервоприводом для помещения секции в нужную ячейку. В процессе работы происходит перемещение секций конденсаторов из линии вибропитателя в измерительное устройство с помощью манипулятора и последующее распределение секции в номерной бункер, соответствующий показаниям измерительного прибора.
- 3. Измерение параметров секции регистрация данных через измеритель иммитанса Е7-20. Данные передаются в ПЛК для дальнейшей обработки.
- 4. Анализ данных и сортировка сопоставление параметров секции с номинальными рядами.

В любой момент оператор может нажать кнопку «Стоп», после чего происходит завершение цикла работы системы.

Программная часть системы реализована на языке программирования FBD (Function Block Diagram) в программе CoDeSys V2.3. В процессе работы программы происходит считывание сигналов с оптических датчиков EE-SX1018 и CNY70 для контроля положения манипулятора и наличия секции в зоне захвата. Для управления шаговыми двигателями программно задается генерация управляющих импульсов. Происходит запись измеренного показания прибора E7-20 в текстовый файл для дальнейшего анализа.

Дальнейшее развитие системы может включать интеграцию с аналитическим ПО для улучшения статистического анализа данных. Также перспективным направлением является внедрение методов искусственного интеллекта для предсказания параметров секций и автоматической корректировки алгоритмов работы.

УДК 537.226

ХАРАКТЕРИСТИКИ ГРАДИЕНТНОЙ КЕРАМИКИ ТИТАНАТА БАРИЯ-СТРОНЦИЯ, ПРЕДНАЗНАЧЕННОЙ ДЛЯ ИЗГОТОВЛЕНИЯ ПАССИВНЫХ ЭЛЕМЕНТОВ ЭЛЕКТРОНИКИ

Шут В. Н.¹, проф., Сырцов С. Р.¹, доц., Кашевич И. Ф.², доц.

¹Витебский государственный технологический университет,
г. Витебск, Республика Беларусь
²Витебский государственный университет имени П.М. Машерова,
г. Витебск, Республика Беларусь

<u>Реферат.</u> По толстопленочной технологии получена однородная и градиентная керамика титаната бария-стронция $Ba_{1-x}Sr_xTiO_3$. В градиентных материалах содержание стронция по толщине изменялось от 0 до 30 мол%. Исследованы микроструктура и диэлектрические характеристики полученных образцов. Показано, что путем варьирования составов и толщин слоев градиентных структур, а также режимов их спекания, можно управлять размытием диэлектрических характеристик, добиваться низких значений температурного коэффициента емкости в требуемом температурном интервале.

УО «ВГТУ», 2025

Введение

Керамика на основе твердых растворов титаната бария-стронция $(Ba_{f,x}Sr_xTiO_s,BST)$ является одним из наиболее широко исследуемых объектов в области сегнетоэлектрического материаловедения [1]. Высокие диэлектрические характеристики таких материалов и возможность управлять их параметрами с помощью внешних воздействий (в частности, электрическим полем) обуславливают их широкое использование в элементах памяти, конденсаторах, технике СВЧ. Отличительным свойством BST является то, что его диэлектрические и сегнетоэлектрические характеристики монотонно меняются с изменением отношения Ba/Sr. Температура фазового перехода (температура Кюри) варьируется от $Tc \approx 120$ °C для чистого $BaTiO_s$ (x=0) до комнатной при x=0,35. Однако, сегнетоэлектрики характеризуются существенной температурной зависимостью параметров в области температуры Кюри, что ограничивает их практическое использование.

С середины 90-х годов сформировалось и быстро развивается новое направление в физике сегнетоэлектрических материалов — создание и исследование структур с изменяющимися по объему характеристиками (составом) — градиентных сегнетоэлектриков (graded ferroelectrics, GF) [2, 3]. Были получены структуры (в том числе на основе BST) не только лишенные ряда недостатков однородных систем, но и обладающие новыми свойствами. Подавляющее число работ по данной тематике, выполненных к настоящему времени, посвящено исследованию структур, полученных с помощью различных тонкопленочных технологий. В то же время материалы с толщиной d ~100 мкм, которые могут быть получены в свободном состоянии (без подложки), представляют самостоятельный интерес. Целью данной работы являлось исследование градиентных керамических многослойных структур $Ba_{I_{\pi}}Sr_{x}TiO_{3}$ (x=0–0.3), полученных по «толстопленочной технологии» (методом шликерного литья).

Методика изготовления образцов

Объектом исследования являлись многослойные структуры $Ba_{I_{\infty}}Sr_xTiO_3$, состоящие из слоев, содержание стронция в которых возрастало на 5 мол% от x=0 (в первом слое) до x=0,3 (в последнем). Из шихты готовили шликер путем перемешивания с поливинлбутиралем и необходимыми пластификаторами и затем отливали керамические пленки толщиной 28,5 мкм. Были получены пленки $Ba_{I_{\infty}}Sr_xTiO_3$ семи составов: x=0; 0,05; 0,1; 0,15; 0,2; 0,25; 0,3. Пленки прессовались в пакеты с требуемой конфигурацией слоев. Однородные структуры (с фиксированной концентрацией стронция) собирались из пленок одинакового состава. Для изготовления градиентных структур совместно прессовались пленки различных составов. Затем из пакетов вырубались заготовки 5,5 × 4,0 мм. Полученные заготовки спекались при 1300 °C в течение получаса на воздухе.

Результаты и их обсуждение

отмечалось, технология изготовления многослойных градиентных структур количества предусматривает введение определенного модифицирующих добавок, возможность спекания образцов. Хотя количество добавок обеспечивающих невелико (до 1 мол.%), они могут оказывать определенное влияние на электрофизические характеристики отдельных слоев, и, соответственно, на свойства структуры в целом. Для оценки этого влияния нами, наряду с градиентными образцами, отдельно была исследована микроструктура и диэлектрические характеристики однородных образцов с различным содержанием стронция.

На рисунке 1 представлена микроструктура однородных образцов $Ba_{1x}Sr_xTiO_3$ с x=0; 0,1; 0,3 соответственно. Чистый титанат бария имеет достаточно однородную крупнокристаллическую микроструктуру со средним размером зерна $dl\approx 20$ мкм. При введении 0,05 мол% Sr увеличивается количество зерен с размером 5–10 мкм. Образцы составов $Ba_{a,b}Sr_{a,1}TiO_3$ и $Ba_{a,s}Sr_{a,1}TiO_3$ имеют ярко выраженную бимодальную структуру с наличием крупных зерен, окруженных мелкими кристаллитами. При увеличении содержания стронция $x\geq 0,2$ происходит дальнейшее уменьшение среднего размера зерна, а аномальный рост зерен не наблюдается. Такое развитие микроструктуры связано с конкурирующим влиянием двух факторов. С одной стороны введение добавок (TiO_2+MnCO_3) инициирует жидкофазный механизм спекания, для которого характерно формирование крупнокристаллической структуры. А с другой стороны, стронций является ингибирующим элементом, сдерживающим рекристаллизацию.

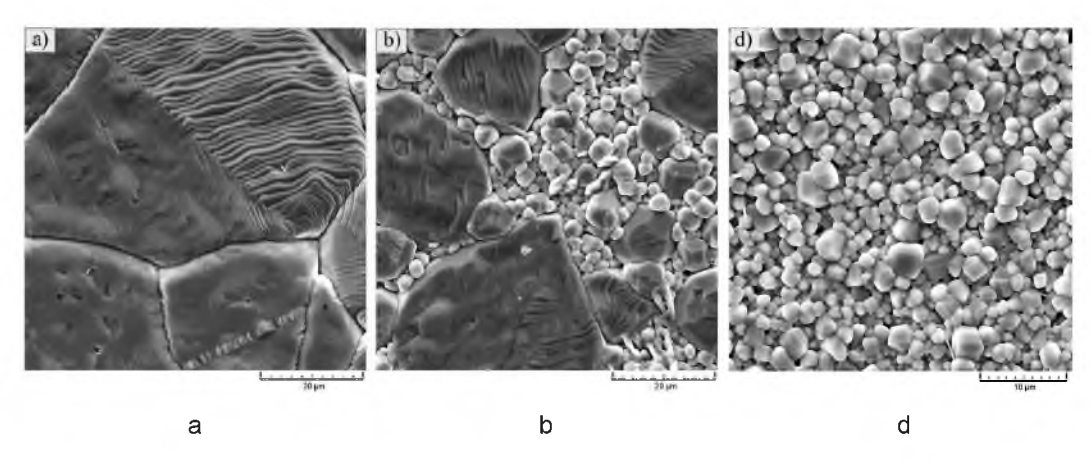


Рисунок 1 — Микроструктура однородных образцов $Ba_{l-x}Sr_xTiO_3$: a-x=0; b--0.1; d--0.3

Температурные зависимости диэлектрической проницаемости однородных образцов приведены на рисунке 2. Температура фазового перехода чистого титаната бария соответствует 125 °C. Введение в состав добавки стронция приводит к сдвигу TC в сторону низких температур (~ 3 градуса/моль%). Обычно, с повышением концентрации Sr; максимальное значение ε возрастает [1]. В нашем случае отмечается уменьшение значения ε_{max} при x>0,1. Это может быть объяснено зависимостью диэлектрических характеристик перовскитов от размера зерна (эффект зажатия).

На рисунке 3 приведена микроструктура градиентной керамики состава $(BaTiO_3 + BaTiO_3 + Ba_{\theta,\theta}Sr_{\theta,\theta}TiO_3 + Ba_{\theta,\theta}Sr_{\theta,\theta}TiO_3 + Ba_{\theta,\theta}Sr_{\theta,\theta}TiO_3 + ... + Ba_{\theta,\tau}Sr_{\theta,\theta}TiO_3 + Ba_{\theta,\tau}Sr_{\theta,\theta}TiO_3).$

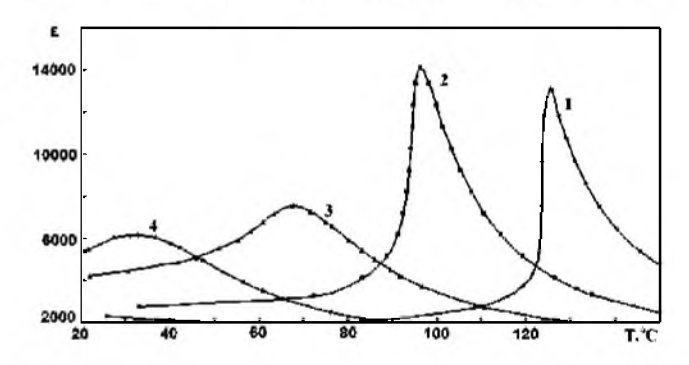


Рисунок 2 – Температурные зависимости диэлектрической проницаемости однородных образцов $Ba_{1-x}Sr_xTiO_3$: 1 – x = 0; 2 – x = 0,1; 3 – x = 0,2; 4 – x = 0,3

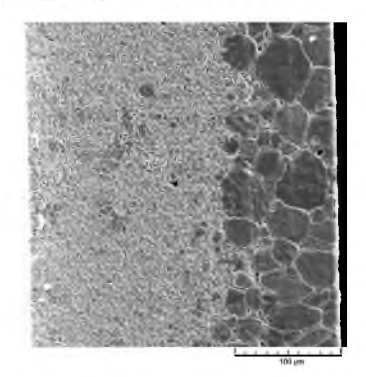


Рисунок 3 — Микроструктура градиентного образца с изменяющимся составом от x = 0 до x = 0,3 (фотография торца)

Как видно из рисунка 3 микроструктура каждой из поверхностей близка к соответствующей микроструктуре однородных материалов. Это свидетельствует о том, что при выбранных условиях спекания значительного растворения соседних слоев не происходит. На фотографии торца хорошо видно уменьшение размере зерен по мере повышения содержания стронция.

На рисунке 4 представлена температурная зависимость диэлектрической проницаемости ε (T) для градиентной керамики с изменением x от 0 до 0.3 мол%. В градиентных структурах наблюдается сильно размытая температурная зависимость диэлектрической проницаемости. Температурный коэффициент емкости (ТКЕ) в диапазоне T=20–100 °C не превышает 10 %. Очевидно, что путем варьирования составов и толщин слоев градиентных структур можно добиваться низких значений ТКЕ в требуемом температурном интервале. Следует отметить, что разработанная технология изготовления градиентных сегнетоэлектриков позволяет получать образцы с широким спектром изменения состава и структуры. Это, в свою очередь, дает возможность не только целенаправленно управлять их свойствами, но и получать материалы с принципиально новыми характеристиками.

УО «ВГТУ», 2025

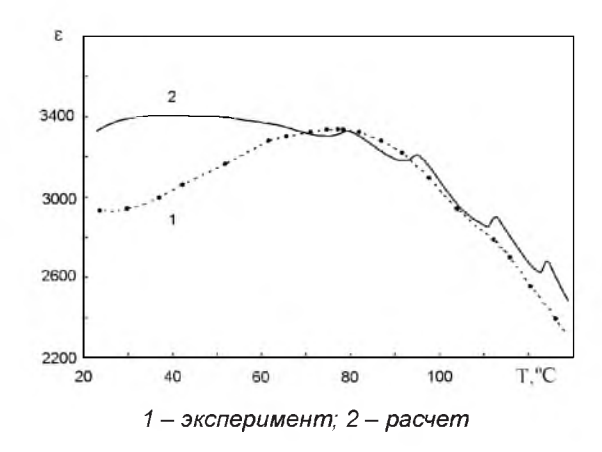


Рисунок 4 — Температурные зависимости диэлектрической проницаемости однородных образцов $Ba_{Lx}Sr_xTiO_x$ с x=0-0.3

Список использованных источников

- Gevorgian S. Barium Strontium Titanate (review). Gothenburg, Sweden, 2005. – 20 p.
- El-Naggar, M. Y. Graded ferroelectric capacitors with robust temperature characteristics / M.Y. El-Naggar, K. Dayal, D.G. Goodwin, K. Bhattacharya // J. Appl. Phys. 2006. Vol. 100. P. 114115–114120.
- Shut, V. N. Compositionally Graded BST Ceramics Prepared by Tape Casting / V. N. Shut, S. R. Syrtsov, V. L. Trublovsky, A. D. Poleyko, S. V. Kostomarov, L. P. Mastyko // Ferroelectrics. – 2009. – Vol. 386. – P. 125–132.

УΔΚ: 656.25:62-52

ДЕЦЕНТРАЛИЗОВАННАЯ АРХИТЕКТУРА СИСТЕМ УПРАВЛЕНИЯ ДВИЖЕНИЕМ ПОЕЗДОВ, ИСПОЛЬЗУЮЩИХ ЦИФРОВОЙ РАДИОКАНАЛ ПЕРЕДАЧИ ДАННЫХ

Розенберг Е. Н.¹, д.т.н., проф., Новиков В. Г.², канд. техн. наук

¹Научно-исследовательский и проектно-конструкторский институт информатизации, автоматизации и связи на железнодорожном транспорте» (АО «НИИАС»), г. Москва. Российская Федерация

²Российский университет транспорта (МИИТ), г. Москва, Российская Федерация

<u>Реферат.</u> Статья посвящена рассмотрению децентрализованной архитектуры систем управления и обеспечения безопасности движения поездов, использующих цифровой радиоканал передачи данных, которая предполагает отсутствие каких либо логических функций, обеспечивающих безопасность движения на стороне стационарных устройств инфраструктуры.

<u>Ключевые слова:</u> интеллектуальные системы, системы управления, безопасность движения поездов, бортовые устройства безопасности, система интервального регулирования, цифровой радиоканал, архитектура систем.

Интеллектуализация современных систем управления и обеспечение безопасности движения железных дорог и метрополитенов в настоящее время тесно связана с использованием цифрового радиоканала передачи данных (далее РК). Применение цифрового радиоканала необходимо для повышения пропускной способности линий, модернизации устаревших систем, повышения надежности технических средств, расширения функциональных возможностей технических комплексов и применения новых принципов обеспечения безопасности движения и интервального регулирования [1–3].

Концепции развития систем обеспечения безопасности движения, использующие цифровой радиоканал, должны устранить ограничения, связанные с применением традиционных технологий обеспечения движения поездов.

Стоит отметить, что в настоящее время системы управления движением поездов, использующие РК внедряются в большинстве проектов нового строительства, а также при модернизации линий пригородного железнодорожного транспорта, метрополитена и других